

Fluktuácie počtu protónov a fázový diagram silno interagujúcej hmoty

Boris Tomášik

FJFI

boris.tomasik@umb.sk

17.1.2019

(Stredný) počet častíc v štatistickej fyzike

Grandkánonický súbor

⇒ systém si vymieňa častice s rezervoárom (heatbath)

(suma cez \forall stavy)

$$\langle N \rangle = \sum_i N_i P_i = \frac{\sum_i N_i w_i}{\sum_i w_i} = \frac{\sum_i N_i \exp\left(-\frac{E_i - \mu N_i}{T}\right)}{\sum_i \exp\left(-\frac{E_i - \mu N_i}{T}\right)} = \frac{\frac{\partial Z}{\partial \frac{\mu}{T}}}{Z} = \frac{\partial \ln Z}{\partial \frac{\mu}{T}}$$

Relativistický systém:

- možnosť tvorby párov častica+antičastica
- klasifikácia stavov podľa **zachovávanjúceho sa** kvantového čísla (napríklad B , zachováva sa v mikroskopických procesoch)
- systém si vymieňa s rezervoárom zachovávanjúci sa náboj

$$\langle B \rangle = \frac{\partial \ln Z}{\partial \frac{\mu_B}{T}}$$

Vyššie momenty rozdelenia (netto) počtu častíc

vyššie derivácie $\ln Z$

$$\frac{\partial^2 \ln Z}{\partial \left(\frac{\mu}{T}\right)^2} = \langle N^2 \rangle - \langle N \rangle^2 = \mu_2 = \kappa_2 = \sigma^2 = VT^3 \chi_2$$

$$\frac{\partial^3 \ln Z}{\partial \left(\frac{\mu}{T}\right)^3} = \langle N^3 \rangle - 3\langle N^2 \rangle \langle N \rangle + 2\langle N \rangle^3 = \mu_3 = \kappa_3 = VT^3 \chi_3$$

$$\begin{aligned} \frac{\partial^4 \ln Z}{\partial \left(\frac{\mu}{T}\right)^4} &= \langle N^4 \rangle - 4\langle N^3 \rangle \langle N \rangle - 3\langle N^2 \rangle^2 + 12\langle N^2 \rangle \langle N \rangle^2 - 6\langle N \rangle^4 \\ &= \mu_4 - 3\mu_2^2 = \kappa_4 = VT^3 \chi_4 \end{aligned}$$

centrálne momenty rozdelenia μ_j , kumulanty rozdelenia κ_j , susceptibility χ_i

Korelácie rôznych nábojov

vyššie derivácie $\ln Z$ podľa rôznych chemických potenciálov

$$\frac{\partial^{i+j+k} \ln Z}{\partial \left(\frac{\mu_B}{T}\right)^i \partial \left(\frac{\mu_S}{T}\right)^j \partial \left(\frac{\mu_Q}{T}\right)^k} = VT^3 \chi_{i,j,k}^{B,S,Q}$$

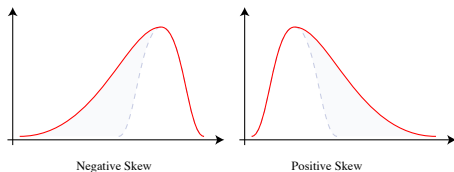
Napríklad

$$\frac{\partial^2 \ln Z}{\partial \left(\frac{\mu_B}{T}\right) \partial \left(\frac{\mu_S}{T}\right)} = \langle BS \rangle$$

Ďalšie charakteristiky rozdelenia

Koeficient šikmosti (skewness)

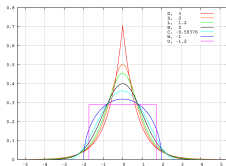
$$S = \frac{\kappa_3}{\kappa_2^{3/2}} = \frac{\mu_3}{\sigma^3}$$



[Rodolfo Hermans on Wikipedia, and Wikipedia]

Koeficient špicatosti

$$\kappa = \frac{\kappa_4}{\kappa_2^2} = \frac{\mu_4}{\mu_2^2} - 3$$

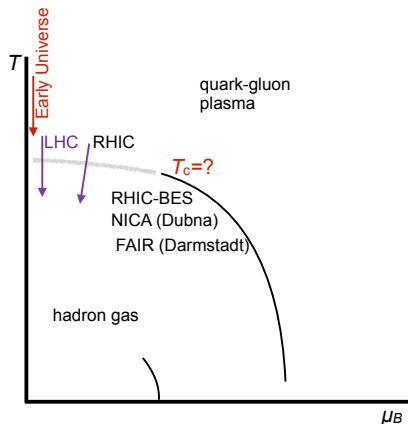


Pomery nezávislé na objeme

$$S\sigma = \frac{\kappa_3}{\kappa_2} = \frac{\mu_3}{\sigma^2} = \frac{\chi_3}{\chi_2}$$

$$\kappa\sigma^2 = \frac{\kappa_4}{\kappa_2} = \frac{\mu_4}{\sigma^2} - 3\sigma^2 = \frac{\chi_4}{\chi_2}$$

Fázový diagram silno interagujúcej hmoty



Zrážky pri rôznych energiách sondujú rôzne miesta vo fázovom diagrame.

Netto baryónová hustota parametrizovaná chemickým potenciálom

$$\frac{\rho_B}{\rho_{\bar{B}}} \propto \exp\left(\frac{2\mu_B}{T}\right)$$

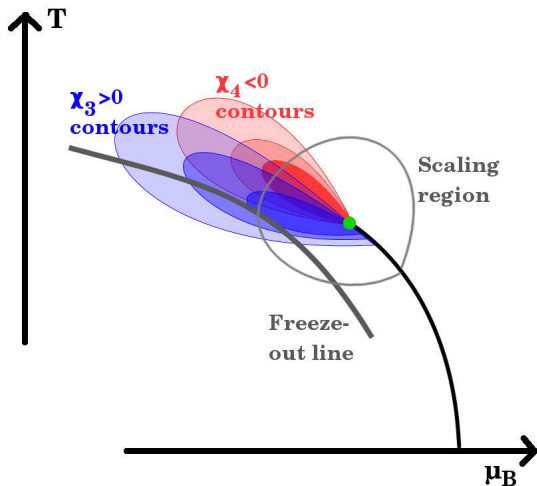
Miliónová otázka: kde je kritický bod?

Kritický bod – fázový prechod druhého druhu.

V okolí kritického bodu očakávame veľké fluktuácie (baryónového čísla).

Fluktuácie a fázový diagram

Príklad: susceptibility v Isingovom modeli (rovnaká trieda univerzality)



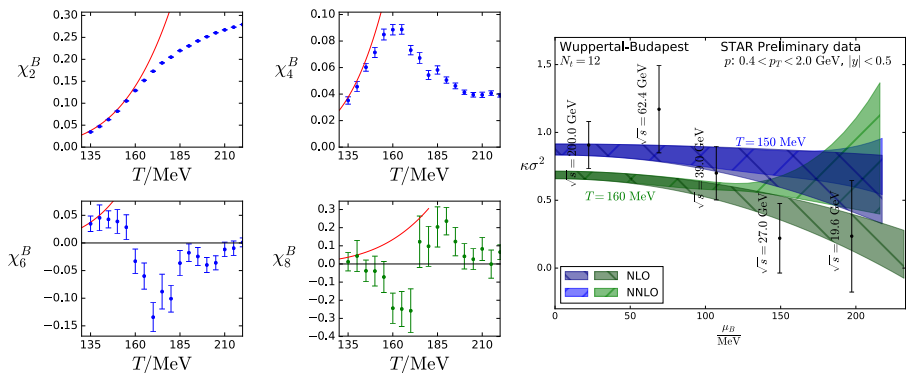
[J.W. Chen et al.: Phys. Rev. D 95 (2017) 014038]

Susceptibility v QCD na mriežke

Štatistická fyzika so silno interagujúcou hmotou.

Kvarkové a gluónové polia na diskretnéj a konečnej mriežke

Simulácie fungujú len pri $\mu_B^2 \leq 0$ (extrapolácia do fyzikálnych μ_B)



[S. Borsanyi et al., JHEP 1810 (2018) 205]

Susceptibility v hadrónovom plyne v chemickej rovnováhe

Plyn interagujúcich hadrónov = ideálny plyn hadrónov a rezonancií.

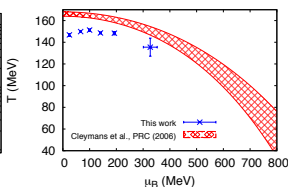
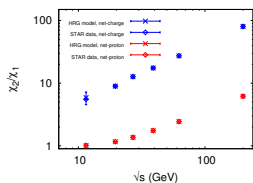
[R. Dashen, S.-K. Ma, H.J. Bernstein, Phys. Rev. 187 (1969) 345-370]

$$\ln Z = \sum_i \pm \frac{g_i V}{(2\pi)^3} \int d^3 p \ln \left[1 \pm \exp \left(-\frac{E_i(p) - \mu_i}{T} \right) \right]$$

suma cez druhy častíc (okolo 300 druhov rezonancií)

$$\mu_i = B_i \mu_B + S_i \mu_S + Q_i \mu_Q$$

$$\mu_S = \mu_S(\mu_B, T), \quad \langle S \rangle = 0, \quad \mu_Q = \mu_Q(\mu_B, T), \quad \langle Q \rangle = \frac{Z}{A} \langle B \rangle$$



[P. Alba et al.,
Phys. Lett. B 738 (2014) 305]

Susceptibility v nerovnovážnom hadrónovom plyne

po chemickom vymrznutí druhy častíc interagujú a majú vlastné chemické potenciály:

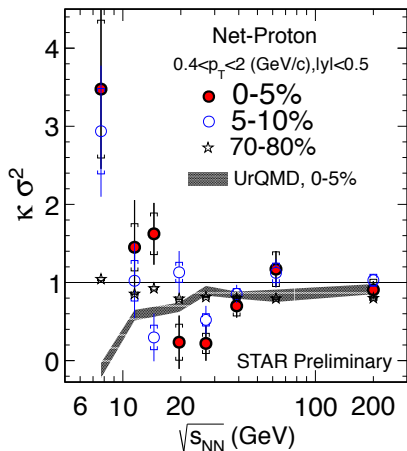
- chemické potenciály pre každý stabilný druh častíc
- rezonancie: $\mu_R = \sum_i N_{i,R} \mu_i$, (suma cez stabilné druhy hadrónov)

⇒ Pepa Uchytíl

Fluktuácie počtu baryónov: meranie

- baryóny sa nedajú merať
 - protóny sú náhradou
 - rýchle izospinové premiešanie: protóny sú ok
- baryónové číslo sa v malom systéme zachováva
- objem vzniknutej hmoty fluktuuje
 - fireball mimo akceptanciu funguje ako rezervoár
 - vplyv malého objemu treba vziať do úvahy
- efektivita detektora nie je dokonalá

Fluktuácie počtu protónov: dáta



[STAR, PRL 112 (2014) 032302,
CPOD2014, QM2015]

Obrovský nárast koeficientu
špicatosti pri nízkych zrážkových
energiách.

Referenčné hodnoty: simulácia Monte Carlo

- baryónové číslo sa zachováva
- v simulácii len protóny a neutróny (a ich antičastice)
- len (fluktuujúca) časť prichádzajúcich nukleónov sa zúčastňuje zrážky
- izospin udretých nukleónov sa zachováva
- udreté nukleóny majú dvojité normálne rozdelenie v rapidite počet protónov z tohto zdroja fluktuuje, kvôli
 - fluktuáciám počtu udretých nukleónov
 - náhodnému počtu protónov spomedzi udretých nukleónov
 - obmedzenej akceptancii z celého rozdelenia v rapidite
- dodatočne produkované páry $B\bar{B}$ s plochým rozdelením v rapidite počet (netto) protónov z tohto zdroja fluktuuje kvôli:
 - Poissonovským fluktuáciám počtu $B\bar{B}$, stredná hodnota úmerná N_{wound}
 - náhodnému priradeniu protónov a antiprotónov ($p = 1/2$)
 - obmedzenej akceptancii z celého rozdelenia v rapidite

⇒ **zloženie zranených/produkovaných protónov závisí na energii, centralite a okne v rapidite**

Rozdelenie zranených nukleónov v rapidite

$$\frac{dN_w}{dy}(y) = \frac{N_w}{2\sqrt{2\pi\sigma_y^2}} \left\{ \exp\left(-\frac{(y-y_m)^2}{2\sigma_y^2}\right) + \exp\left(-\frac{(y+y_m)^2}{2\sigma_y^2}\right) \right\}$$

Parametre:

- $\sigma_y = 0.8$
- y_m získané a

$$N_{p-\bar{p}} = \frac{Z}{A} \int_{-y_b}^{y_b} \frac{dN_w}{dy} dy$$

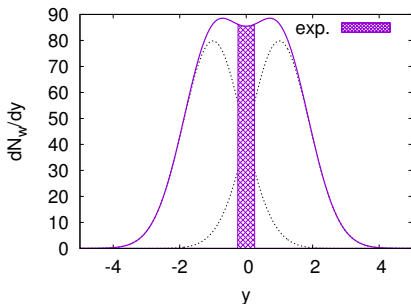
kde

$N_{p-\bar{p}}$ in $|y| < y_b = 0.25$

sa vzalo z meraní STAR:

PRC79 (2009) 034909,

PRC96 (2017) 044904



Ilustrácia pre: $y_m = 1$, $dy = 0.8$

Rozdelenie produkovaných párov $N\bar{N}$ v rapidite

$$\frac{dN_{B\bar{B}}}{dy} = N_{B\bar{B}} \frac{C}{1 + \exp\left(\frac{|y| - y_m}{a}\right)}$$

Parametre:

- $C = (2a \ln(e^{y_m/a} + 1))^{-1}$
- $a = \sigma_y/10$
- počet $N_{B\bar{B}}$ získané z

$$N_{\bar{p}} = \frac{1}{2} \int_{-y_b}^{y_b} \frac{dN_{B\bar{B}}}{dy} dy$$

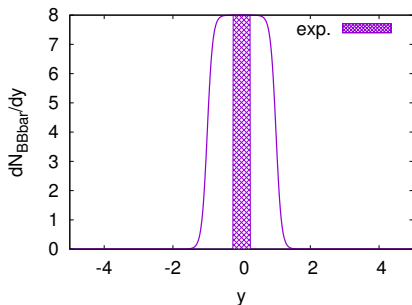
kde

$N_{\bar{p}}$ in $|y| < y_b = 0.25$

je z meraní STAR:

PRC79 (2009) 034909,

PRC96 (2017) 044904



Ilustrácia pre: $y_m = 1$, $a = 0.08$

Určenie izospinu

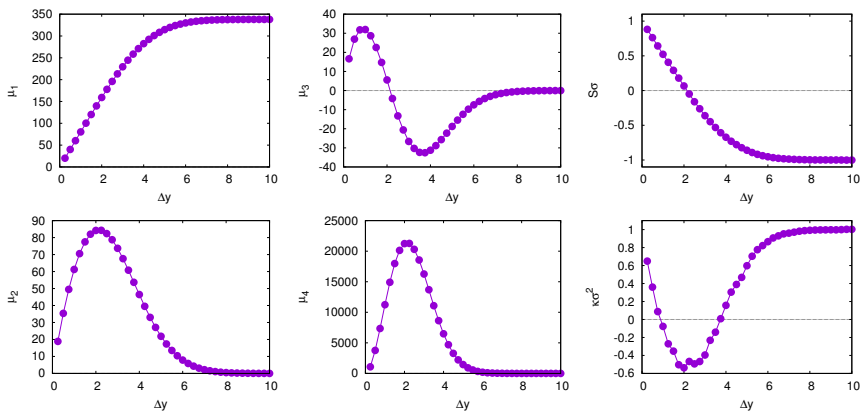
- Zranené nukleóny si pamätajú svoj izospin. (možno vypnúť)
- v takom prípade hypergeometrické rozdelenie počtu zranených protónov
- produkovaný nukleón je protónom s pravdepodobnosťou $1/2$

Glauber Monte Carlo

- použité GLISSANDO 2
[M. Rybczyński *et al.*, Comp. Phys. Commun. **185** (2014) 1759]
- centralita určená deponovanou mierkou energie (analogicky k experimentu)

Rozcvička: zachovanie baryónového čísla

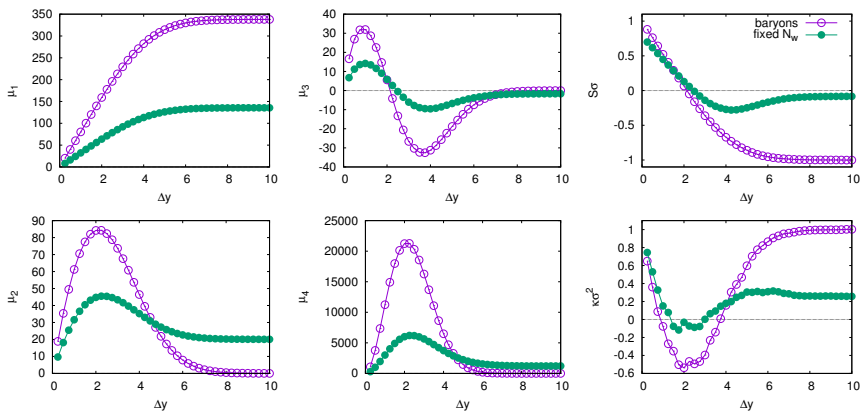
Momenty rozdelenia počtu baryónov okolo strednej rapidity



$$N_w = 338, N_{B\bar{B}} = 16.94, y_m = 1.019, 5 \times 10^7 \text{ udalostí}$$

Netto počet protónov: závislosť na šírke okna v rapidite

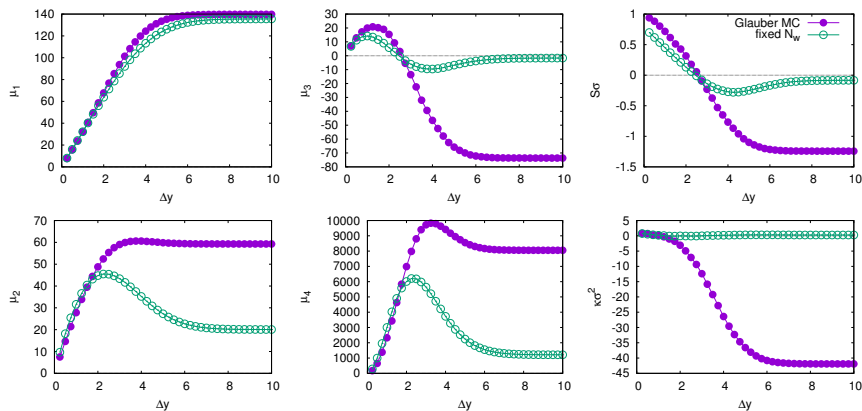
Momenty rozdelenia netto počtu protónov v okolí strednej rapidity



$$N_W = 338, N_{B\bar{B}} = 16.94, y_m = 1.019, 2 \times 10^7 \text{ udalostí}$$

Závislosť na Δy : fixované N_w vs. Glauber MC

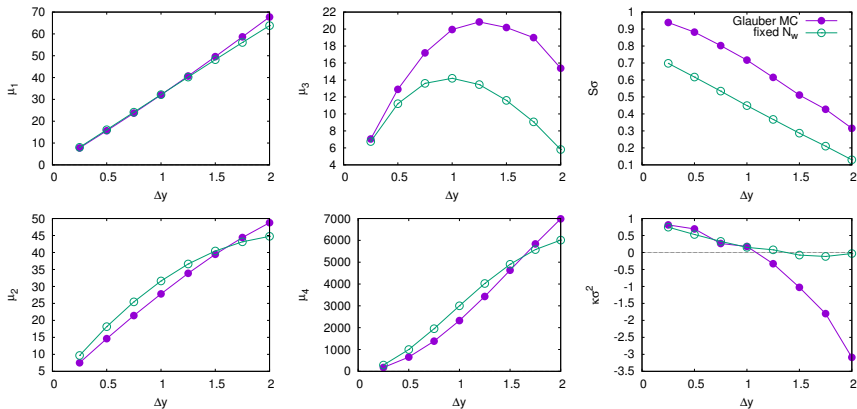
Momenty rozdelenia $p - \bar{p}$ v okolí $y = 0$



$N_w = 338$, $N_{B\bar{B}} = 16.94$, $y_m = 1.019$, 2×10^7 udalostí,
Glauber MC: 1.2×10^6 udalostí

Závislosť na Δy : fixované N_w vs. Glauber MC

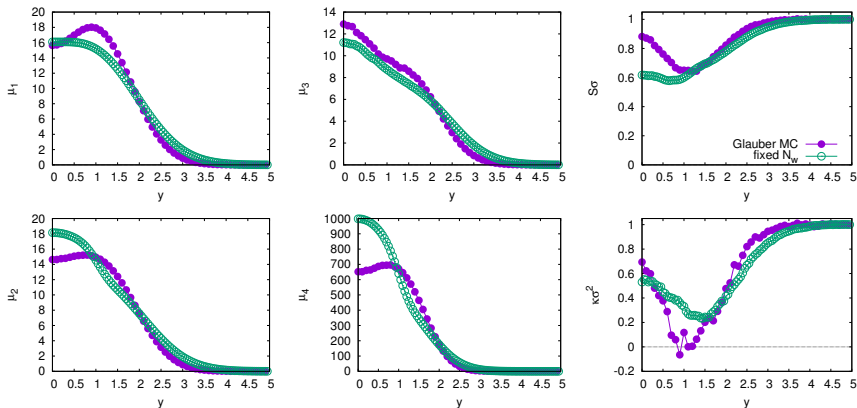
Momenty rozdelenia $p - \bar{p}$ v okolí $y = 0$: priblíženie pokrytia detektorom



$N_w = 338$, $N_{B\bar{B}} = 16.94$, $y_m = 1.019$, 2×10^7 udalostí,
Glauber MC: 1.2×10^6 udalostí

Počet netto protónov: závislosť na rapidite

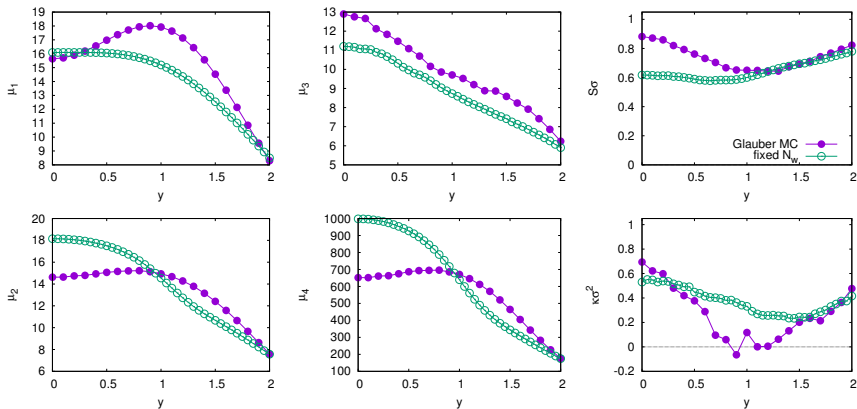
Momenty rozdelenia $p - \bar{p}$ pre $\Delta y = 0.5$



$N_w = 338$, $N_{B\bar{B}} = 16.94$, $y_m = 1.019$, 2×10^7 udalostí,
Glauber MC: 1.2×10^6 udalostí

Počet netto protónov: závislosť na rapidite

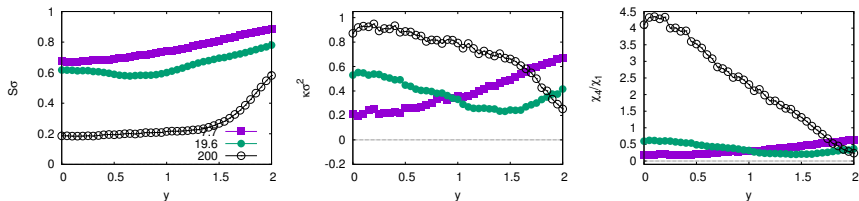
Momenty rozdelenia $p - \bar{p}$ pre $\Delta y = 0.5$: priblíženie pokrytia detektorom



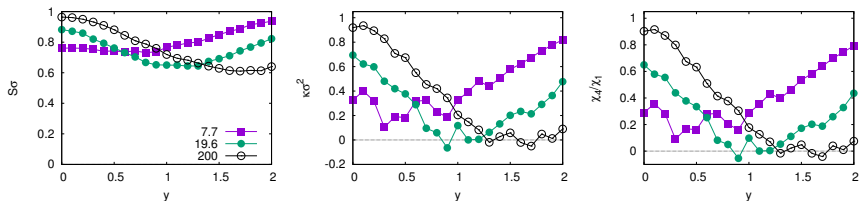
$N_w = 338$, $N_{B\bar{B}} = 16.94$, $y_m = 1.019$, 2×10^7 udalostí,
Glauber MC: 1.2×10^6 udalostí

Závislosť na rapidite pre rôzne energie zrážky

Fixované $N_w = 338$, $N_{B\bar{B}} = 16.94$, $y_m = 1.019$, 2×10^7 udalostí,



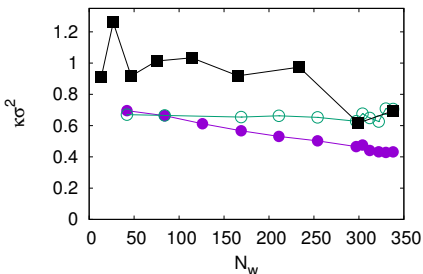
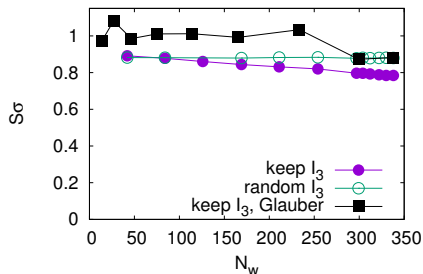
Glauber MC, 1.2×10^6 udalostí



Netto počet protónov: závislosť na centralite

$\sqrt{s_{NN}} = 19.6$ GeV: $y_m = 1.019$, $N_{B\bar{B}}/N_w = 0.050$

Štatistika: 2×10^7 pre fixované N_w , $\sim 5 \times 10^5$ pre Glauber MC



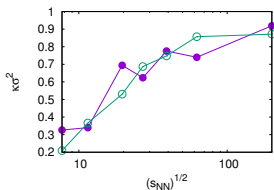
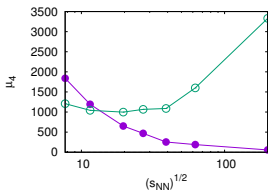
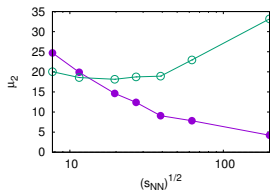
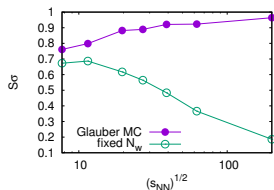
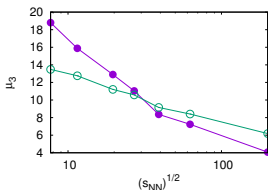
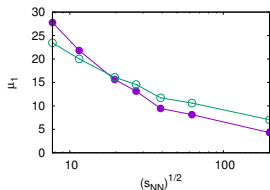
$S\sigma$ a $\kappa\sigma^2$ sú nižšie v centrálnejších zrážkach, ak si udruté nukleóny pamätajú svoj izospin.

Netto počet protónov: závislosť na energii zrážky

rapiditný interval $\Delta y = 0.5$ okolo $y = 0$

Štatistika: 2×10^7 udalostí pre fixované N_w ,

1.2×10^6 udalostí pre Glauber MC



Dôležitosť produkovaných párov $B\bar{B}$ rastie s rastúcou energiou.

Vývoj rozdelenia multiplicity po chemickom vymrznutí

[Radka Sochorová]

V tejto štúdii: proces $a_1 + a_2 \leftrightarrow b_1 + b_2$

- b_1, b_2 zachovávajú náboj $U(1)$
- napríklad produkcia podivnosti $\pi + N \leftrightarrow K + \Lambda$
- n je počet párov b_1, b_2

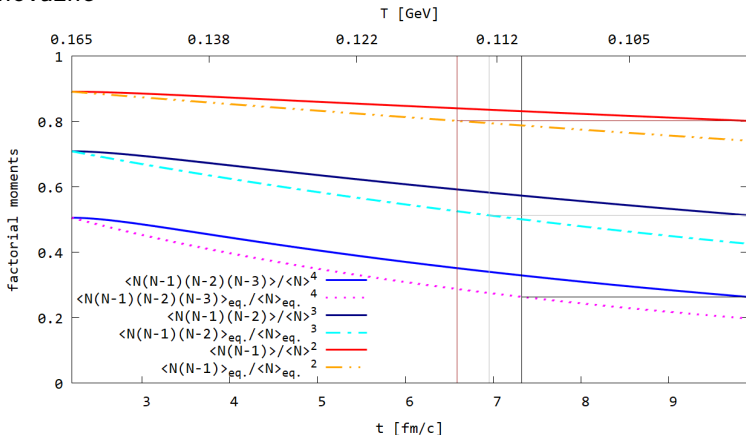
Riadiaca rovnica pre vývoj rozdelenia multiplicity:

$$\frac{dP_n}{dt} = \frac{G}{V} \langle N_{a_1} \rangle \langle N_{a_2} \rangle [P_{n-1} - P_n] - \frac{L}{V} [n^2 P_n - (n+1)^2 P_{n+1}]$$

{vytvorenie páru b } - {anihilácia páru b }

Zdanlivá teplota vymrznutia

V prudko chladnúcom fireballe sa rozdelenie multiplicity vyvíja nerovnovážne



Štatistické momenty rôznych rádoz zdanlivo ukazujú na rôzne teploty.

- Meranie rôznych momentov rozdelenia multiplicity nesie zaujímavú informáciu o stave hmoty v rámci fázového diagramu.
- Zaujímavé sú aj korelácie medzi multiplicitami rôznych kvantových nábojov.
- Pri interpretácii dát treba zahrnúť viacero iných možných vplyvov.
 - zachovanie baryónového čísla
 - fluktuácie objemu
 - obmedzená akceptancia
 - hadrónový plyn v chemickej nerovnováhe
 - nerovnovážny vývoj rozdelenia multiplicity
 - ...